Procédés de Fabrication I - IGI Chapitre 2. Propriétés Mécaniques des Matériaux

16 octobre 2025

Programme de la première partie

- 1. Introduction
- 2. Description de l'expérience de traction uniaxiale
- 3. La contrainte en plasticité, Loi de Ludwik et courbe de traction réelle
- 4. Décharge et relaxation

2.1.1 Généralités

- Dans la plupart des procédés, la mise en forme de la matière première est basée sur les déformations plastiques. C'est le cas :
 - du formage des métaux : laminage, forgeage, extrusion, étirage,
 - du formage des feuilles : pliage, emboutissage, découpage,
 - des procédés de coupe (fraisage, perçage, décolletage),

- ..

- La planification puis l'optimisation des procédés de production cités plus haut est donc essentiellement conditionnée par les propriétés mécaniques (élastiques et surtout plastiques) du matériau à usiner.
- Il existe d'autres procédés comme la fonderie ou l'injection dont les performances dépendent plutôt des propriétés thermiques du matériau à mettre en forme. Ce sujet sera traité dans le chapitre suivant.

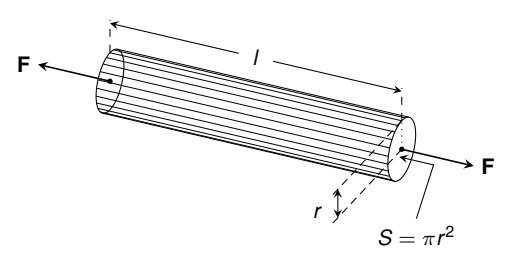
2.1.2 Objectifs du chapitre

 Il s'agit de définir, d'illustrer et de comprendre le lien qu'ont entre elles les principales propriétés élasto-plastiques de la matière :

Nom	Symbole	Unité
Le module d'élasticité	Е	[GPa]
Le coefficient de Poisson	ν	[-]
Le coefficient d'écrouissage	n	[-]
Le module d'écrouissage	K	[MPa]
La limite élastique	R _e	[MPa]
La résistance à la traction	R_m	[MPa]
Le taux de déformation réel à la rupture	$arepsilon_{ m ult}$	[-]
La dureté	$\mathit{HB}, \mathit{HV}, \mathit{HK}$	[kg/mm²]
• • •		

(cf. Annexe 1)

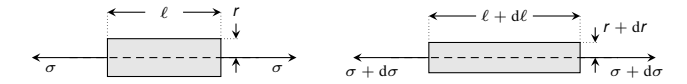
2.2.1 Expérience de traction - contrainte réelle



- Dans une expérience de traction on allonge un échantillon de matière en lui appliquant une force F croissante.
- La force n'est pas une bonne mesure de la façon avec laquelle on sollicite l'échantillon. Le rapport entre la force et la section courante en donne une meilleure idée.
- Ce rapport est noté σ et appelé contrainte de traction **réelle**

$$\sigma = \frac{F}{S} \quad unit\'e : MPa \tag{1}$$

2.2.2 Lois infinitésimales



- Si la contrainte de traction σ augmente d'une quantité infinitésimale dσ la longueur ℓ et le rayon r de l'échantillon varient de dℓ et respectivement dr.
- Hooke et Poisson ont observé que tant que les déformations restent **élastiques**, les variations relatives $\mathrm{d}\ell/\ell$ et $\mathrm{d}r/r$ sont en proportion de $\mathrm{d}\sigma$:

$$\frac{\mathrm{d}\ell}{\ell} = \frac{1}{E} \mathrm{d}\sigma \qquad \text{(Loi de Hooke infinitésimale)} \tag{2}$$

$$\frac{\mathrm{d}r}{r} = -\frac{1}{E'}\mathrm{d}\sigma \qquad \text{(Loi de Hooke-Poisson infinitésimale)}. \tag{3}$$

où E,E'>0 sont les modules d'Young et de Young-Poisson. Le signe moins dans la seconde relation dit que le rayon diminue si la traction augmente.

2.2.3 Module d'Young et coefficient de Poisson

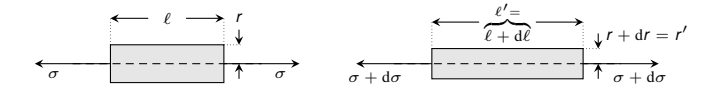
- Le module d'Young est une caractéristique fondamentale des propriétés élastiques du matériau dont est fait l'échantillon.
- Le module d'Young-Poisson E' est aussi une caractéristique de l'échantillon, mais elle n'est pas très célèbre. La caractéristique qui est devenue fameuse est plutôt le rapport entre E et E'. ce rapport est noté ν et appelé coefficient de Poisson :

$$u = \frac{E}{E'} \Longrightarrow E' = \frac{E}{\nu}.$$

 En éliminant le module d'Young-Poisson E' au profit du coefficient de Poisson, les accroissements relatifs de longueur et de rayon suscités par une augmentation élastique de contrainte de traction valent :

$$\frac{\mathrm{d}\ell}{\ell} = \frac{1}{E} \mathrm{d}\sigma \quad \text{et} \quad \frac{\mathrm{d}r}{r} = -\frac{\nu}{E} \mathrm{d}\sigma. \tag{4}$$

2.2.4 Episode microscopique



• L'augmentation $d\sigma$ (très petite) de contrainte fait passer la longueur et le rayon de l'échantillon des valeurs ℓ , r aux valeurs ℓ' , r':

$$\ell' = \ell + d\ell = \left(1 + \frac{d\ell}{\ell}\right)\ell = \left(1 + \frac{1}{E}d\sigma\right)\ell$$
$$r' = r + dr = \left(1 + \frac{dr}{r}\right)r = \left(1 - \frac{\nu}{E}d\sigma\right)r$$

 L'effet d'une très petite augmentation de contrainte sur les longueurs et les rayons est donc multiplicatif: c'est une amplification d'un facteur > 1 pour la longeur et une réduction d'un facteur < 1, pour le rayon

$$1 + \frac{1}{E} d\sigma$$
 (pr. la longu.) $1 - \frac{\nu}{E} d\sigma$ (pr. le rayon)

Bien sûr, ce n'est vrai que si les déformations qu'on considère sont élastiques!

2.2.5 Expérience macroscopique



- La mise en traction macroscopique (σ) d'un échantillon peut être décomposé en une succession de n étapes où la contraite est augmentée de σ/n à chaque fois.
- Si n est très très grand, l'accroissement de contrainte σ/n est ≃ microscopique et, s'il est élastique, son effet sur la longueur et le rayon est multiplicatif. Au cours des épisodes, la longueur et le rayon évoluent depuis les valeurs ℓ₀ et r₀ selon :

$$\begin{split} \ell_0 &\to \left(1 + \frac{1}{E} \frac{\sigma}{n}\right) \ell_0 \to \left(1 + \frac{1}{E} \frac{\sigma}{n}\right)^2 \ell_0 \to \left(1 + \frac{1}{E} \frac{\sigma}{n}\right)^3 \ell_0 \dots \\ r_0 &\to \left(1 - \frac{\nu}{E} \frac{\sigma}{n}\right) r_0 \to \left(1 - \frac{\nu}{E} \frac{\sigma}{n}\right)^2 r_0 \to \left(1 - \frac{\nu}{E} \frac{\sigma}{n}\right)^3 r_0 \dots \end{split}$$

• Les longueur et rayon finaux ℓ et r, au terme des n étapes, sont donc

$$\ell = \left(1 + \frac{1}{E} \frac{\sigma}{n}\right)^n \ell_0 \quad \text{et} \quad r = \left(1 - \frac{\nu}{E} \frac{\sigma}{n}\right)^n r_0.$$

2.2.6 Expérience macroscopique (suite)

Les formules qu'on vient d'obtenir pour l et r sont malheureusement inexploitables.
 Puisque le paramètre n doit être le plus grand possible, elles reviennent à mettre à une puissance très grande un nombre qui vaut presque 1 :

$$1 + \frac{1}{E} \frac{\sigma}{n}$$
 ou $1 - \frac{\nu}{E} \frac{\sigma}{n}$

 Pour résoudre ce problème il vaut la peine de calculer le logarithme de ℓ et de r. Puisque le logarithme transforme les multiplications en additions, les formules multiplicatives pour ℓ et r deviendront des formules additives pour ln ℓ et ln r :

$$\ln \ell = \ln \left(1 + \frac{1}{E} \frac{\sigma}{n} \right)^n \ell_0 = \ln \ell_0 + n \ln \left(1 + \frac{1}{E} \frac{\sigma}{n} \right)$$
 (5)

$$\ln r = \ln \left(1 - \frac{\nu}{E} \frac{\sigma}{n}\right)^n r_0 = \ln r_0 + n \ln \left(1 - \frac{\nu}{E} \frac{\sigma}{n}\right)$$
 (6)

2.2.7 Expérience macroscopique (fin)

 Les logarithmes en facteur de n sont faciles à calculer car l'argument est de la forme 1 + x avec x très petit et ln(1 + x) ≃ x dans ce cas. En utilisant cette règle on trouve :

$$\ln \ell = \ln \ell_0 + n \ln \left(1 + \frac{1}{E} \frac{\sigma}{n} \right) = \ln \ell_0 + n \frac{1}{E} \frac{\sigma}{n} = \ln \ell_0 + \frac{1}{E} \sigma \tag{7}$$

$$\ln r = \ln r_0 - n \ln \left(1 - \frac{\nu}{E} \frac{\sigma}{n}\right) = \ln r_0 - n \frac{\nu}{E} \frac{\sigma}{n} = \ln r_0 - \frac{\nu}{E} \sigma \tag{8}$$

On utilise l'équation (7) pour exprimer σ :

$$\sigma = E(\ln \ell - \ln \ell_0) = E \ln \frac{\ell}{\ell_0}.$$
 (9)

• On peut ensuite mettre en relation les variations de rayon avec celles de longueur en substituant la valeur (9) de σ dans l'équation (8) :

$$\ln r - \ln r_0 = -\frac{\nu}{E} E \ln \frac{\ell}{\ell_0} \Longrightarrow \ln \frac{r}{r_0} = -\frac{\nu}{E} E \ln \frac{\ell}{\ell_0} = -\nu \ln \frac{\ell}{\ell_0}. \tag{10}$$

2.2.8 Lois de Hooke et de Poisson

 Les équations (9) et (10) font intervenir le logarithme du rapport entre les longueurs finale et initiale. Cette quantité est une mesure de la déformation. On lui donne un nom, taux de déformation réel, et on la note ε:

$$\varepsilon = \ln \frac{\ell}{\ell_0}.\tag{11}$$

Avec cette notation la formule (9) devient donc

$$\sigma = E\varepsilon$$
, $\sin 0 < \varepsilon < \varepsilon_e$ (Loi de Hooke) (12)

et la formule (10):

$$\ln \frac{r}{r_0} = -\nu \varepsilon$$

soit, en résolvant pour r/r_0 :

$$\frac{r}{r_0} = \mathbf{e}^{-\nu\varepsilon}, si\,0 < \varepsilon < \varepsilon_{\mathrm{e}}.$$
 (Loi de Poisson)

2.2.9 Taux de déformation réel en limite élastique

• On prendra note que les lois de Hooke (12) et de Poisson (13) ne sont valables que si

$$0 < \varepsilon < \varepsilon_e$$

où ε_e est le taux réel en deça duquel les déformations sont **élastiques** et au delà duquel elles sont **plastiques**. cela veut dire que si $\varepsilon < \varepsilon_e$ alors l'échantillon reprend sa forme initiale (longueur ℓ_0 , rayon r_0) si on relaxe la force. En revanche, si $\varepsilon > \varepsilon_e$ alors l'échantillon va garder une déformation **permanente** après la relaxation.

 On appelle ε_ε taux de déformation réel en limite élastique. Cette quantité est une caractéristique du matériau dont est fait l'échantillon mais pas seulement. Elle dépend de l'historique de déformation et peut être modifiée mécaniquement, c'est le phénomène d'écrouissage dont nous parlerons plus tard.



Thomas Young, 1773-1829



Siméon Poisson, 1781-1840)



Robert Hooke, 1635-1703)

2.2.10 Lois de Poisson - section et volume

La loi de Poisson (13) donne le rapport des rayons en fonction du taux de déformation réel :

$$\frac{r}{r_0} = \mathbf{e}^{-\nu\varepsilon}, \ 0 \le \varepsilon \le \varepsilon_e$$

 Mais si le rapport des rayons est connu, celui des sections est facile à calculer et, comme le rapport des longueurs est lié de façon simple à ε: I/I₀= e^ε, on peut trouver le rapport des volumes :

$$\frac{S}{S_0} = \left(\frac{r}{r_0}\right)^2 = \mathbf{e}^{-2\nu\varepsilon}, \ 0 \le \varepsilon \le \varepsilon_{\mathrm{e}}, \tag{14}$$

$$\frac{V}{V_0} = \frac{S}{S_0} \frac{I}{I_0} = \mathbf{e}^{(1-2\nu)\varepsilon}, \ 0 \le \varepsilon \le \varepsilon_e. \tag{15}$$

 C'est en fait les trois relations (13)-(15) ensemble qu'on appelle lois de Poisson. On soulignera encore que leur domaine de validité est celui de l'élasticité (0 ≤ ε ≤ ε_e).

2.2.11 Contrainte sur le coefficient de Poisson

 Lors de l'expérience de traction, longueur et volume augmentent simultanément. Cette remarque contraint les valeurs possibles du coefficient de Poisson ν intervenant dans la loi (15):

$$\frac{V}{V_0} = \mathbf{e}^{(1-2\nu)\varepsilon}.$$

Il faut que $V/V_0 > 1$ si $\varepsilon > 0$ donc que

$$\nu \le 0.5 \tag{16}$$

- Si $\nu = \frac{1}{2}$, le volume reste cst. ($V = V_0$), l'échantillon est dit **incompressible**.
- Notons que \(\nu\) n'est pas forcément positif. Il existe des (méta-)matériaux à coefficient de Poisson \(\nu < 0\) (matériaux auxétique), ceux là augmentent de rayon durant l'expérience de traction (13):

$$\frac{r}{r_0} = \mathbf{e}^{-\nu\varepsilon} > 1$$
 si $\varepsilon > 0$.

2.2.12 Une mesure alternative de la déformation

• Le taux de déformation réel $\varepsilon=\ln\frac{1}{\ell_0}$ n'est pas la seule façon de mesurer la déformation. On peut aussi utiliser le taux de déformation nominal que vous connaissez sans doute :

$$e = \frac{\ell - \ell_0}{\ell_0} \tag{17}$$

Dans le cas des petites déformations, ces deux taux coïncident presque :

$$\varepsilon = \ln \frac{\ell}{\ell_0} = \ln \frac{\ell_0 + \ell - \ell_0}{\ell_0} = \ln \left(1 + \frac{\ell - \ell_0}{\ell_0} \right) = \ln(1 + e)$$

donc $\varepsilon \approx e$, si e < 0.05 car $\ln(1 + e) \approx e$ si e est très petit (théorie de Taylor).

• Si e est petit on peut donc remplacer la loi de Hooke $\sigma = \mathsf{E} \varepsilon$ par

$$\sigma = Ee$$
 (loi de Hooke linéarisée) (18)

Mais cette approximation ne se justifie plus dans le cas des grandes déformations $e \gg 0.05$ (cf exos).

(cf. Annexe 2)

2.3.1 Exemple de loi d'écrouissage - Loi de Ludwik

- La loi de Hooke $\sigma = \mathbf{E}\varepsilon$ n'est plus valable si ε excède ε_e (plasticité).
- Dans la zone plastique, c'est une loi appelée loi d'écrouissage qui va donner le rapport entre σ et ε.
- Il existe de nombreux type de lois d'écrouissage qui dépendent du matériau et de son histoire thermomécanique. Mais le comportement plastique de tout une classe de matériaux recuits est bien décrit par une loi d'écrouissage de la forme :

$$\sigma = K\varepsilon^n$$
, $\varepsilon \geq \varepsilon_e$ (Ludwik)

où n est le **coefficient d'écrouissage** et K le module d'écrouissage, **unité** : [K] = GPa.

 Le module d'écrouissage K est ajustée pour que les lois de Hooke et de Ludwik coïncident en ε = ε_θ:

$$K = E\varepsilon_e^{1-n}. (19)$$

2.3.2 Bornes pour le coefficient d'écrouissage

· Pour des raisons thermodynamiques (cf. exercices), on a que

$$0 < n < 1$$
.

 Le cas limite n = 0 correspond à un matériau au comportement plastique idéal. Dans ce cas σ = c^{ste} au delà de la limite élastique

$$n_{or} \simeq 0$$
.

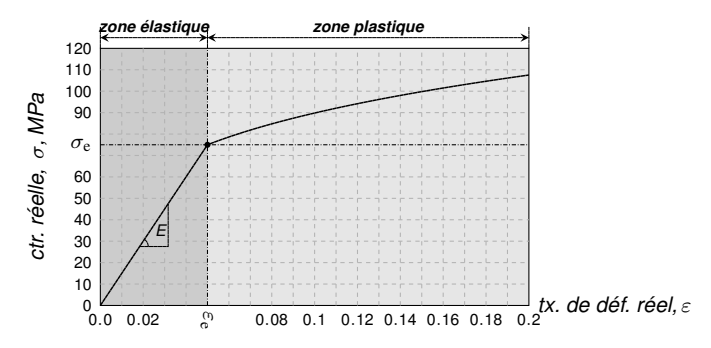
 Pour les matériaux réels, n > 0 et la contrainte σ croît avec ε. Si n ~ 1, plus on le déforme plus le matériau est dur à travailler (écrouissage par augmentation de la densité de dislocations)

$$n_{cuivre} \simeq 1$$
.

 Il n'est évidemment jamais recommandé d'appliquer les lois d'écrouissage en y remplaçant les taux de déformations réels par les taux nominaux, c'est à dire remplacer la formule σ = Kεⁿ par la formule σ = Keⁿ.

(cf. Annexes 6, 23, 7)

2.3.3 Courbe de traction et limite élastique réelle



La quantité σ_e = Eε_e est la limite élastique réelle du matériau. Si la contrainte de traction appliquée excède cette limite, le matériau subit une déformation permanente. Cet état est celui recherché dans les processus de formage (forgeage, laminage, ...). Les forces mises en jeu par ces procédés amèneront le niveau de contrainte au-delà de la valeur σ_e. Cela justifie l'importance de la partie plastique de la courbe de traction dans ce cours.

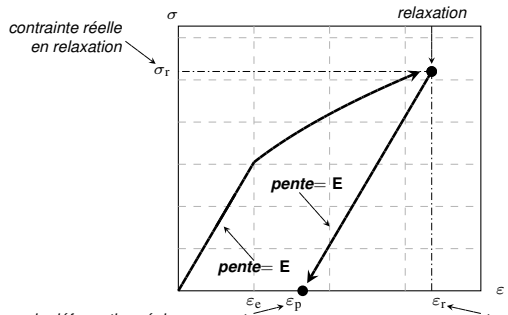
2.3.4 Limite élastique réelle - interprétation

- La quantité σ_e correspond au niveau de traction uniaxiale à partir duquel les dislocations se mettent à bouger (écoulement du matériau).
 - Il faut souligner que seules des contraintes de cisaillement peuvent mobiliser des dislocations. Or un état de traction uniaxiale implique que certains plans sont sollicités en cisaillement!
- On peut augmenter la limite élastique réelle σ_e (donc la dureté du matériau à laquelle elle est liée)
 - en accroissant la densité de dislocation car les dislocations gênent leurs mouvements mutuels (phénomène d'écrouissage),
 - en raffinant la microstructure du matériau pour augmenter les joints de grains qui eux aussi gênent le mouvement des dislocations,
 - en ajoutant des impuretés pour bloquer les dislocations (durcissement par ajout d'éléments d'alliage).

(cf. Annexes 3, 5)

2.4.1 Relaxation - déformation permanente

- Dans l'exp. de traction, on appelle relaxation le fait de laisser revenir la force (donc la contrainte réelle) à zéro.
- On observe que le point (ε, σ) représentatif de l'état de l'échantillon retourne sur l'axe σ = 0 en ligne droite. Cette ligne droite est parallèle à la montée élastique, sa pente est donc exactement égale au module d'Young E.
- Elle rejoint l'axe $\sigma = 0$ en l'abscisse ε_p : le taux de déformation réel permanent.



courbe de traction réelle :

Evolution du couple (ε, σ) lors d'une relaxation.

Relation entre $\varepsilon_{\rm r}$ et $\varepsilon_{\rm p}$:

$$\frac{\varepsilon_{\mathrm{p}}}{\varepsilon_{\mathrm{e}}} = \frac{\varepsilon_{\mathrm{r}}}{\varepsilon_{\mathrm{e}}} - \left(\frac{\varepsilon_{\mathrm{r}}}{\varepsilon_{\mathrm{e}}}\right)'$$

(Equ. de la déf. permanente)

taux de déformation réel en relaxation

taux de déformation réel permanent

2.4.2 Ecrouissage - définition

- Une pièce ayant subi une traction jusqu'en zone plastique est dite écrouie.
- Si l'échantillon écroui subit une nouvelle exp. de traction, il revient à l'état de relaxation de façon **élastique** puis son point représentatif dans le plan (ε, σ) dessine la courbe qu'il aurait dessiné si la relaxation n'avait pas eu lieu.

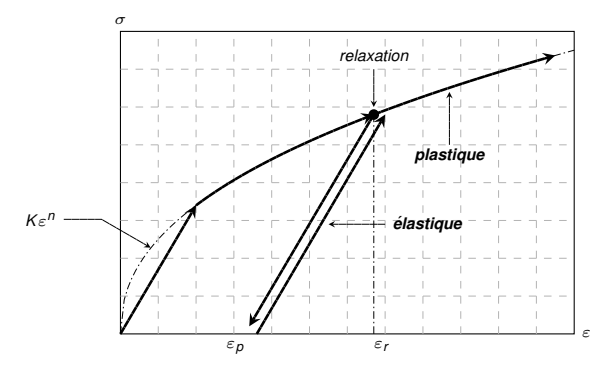


Fig.9 Reprise de l'exp. de traction après relaxation.

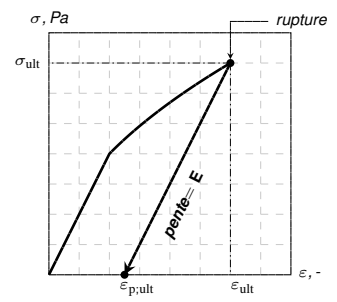
2.4.3 Contrainte de traction ultime

- Dans une expérience de traction, il existe un taux de déformation réel ε_{ult}, appelé taux de déformation réel en rupture, à partir duquel l'échantillon se casse. La contrainte réelle mesurée à ce moment-là est la contrainte de traction ultime (réelle). Elle est notée σ_{ult}.
- Depuis la situation de rupture, la relaxation amène l'échantillon à un état de déformation permanente caractérisé par le taux réel :

$$\varepsilon_{\text{p;ult}} = \varepsilon_{\text{ult}} - \varepsilon_{\text{e}}^{1-n} \varepsilon_{\text{ult}}^{n} \tag{20}$$

 Le taux ε_{p;ult} est ainsi le plus grand taux de déformation qu'on peut induire de façon permanente dans un échantillon!

ATTENTION : Il ne faut pas confondre la contrainte de traction ultime $\sigma_{\rm ult}$ et la résistance $R_{\rm m}$ qui sera introduite au trspt. 2.6.1 et qui représente la force maximale qu'un échantillon de traction de section initiale unité peut supporter sans rompre (cf. trspt. 2.6.3).



Programme de la seconde partie

5. Variation des dimensions latérales en plasticité

6. La force de traction et la contrainte nominale

7. L'inversion de la fonction de traction, applications

2.5.1 Variation des dimensions latérales en plasticité

 En régime élastique, les variations des dimensions latérales et du volume de l'échantillon obeissent aux lois de Poisson (13), (14) et (15):

$$r = r_0 \mathbf{e}^{-\nu \varepsilon}$$

 $S = S_0 \mathbf{e}^{-2\nu \varepsilon}$
 $V = V_0 \mathbf{e}^{(1-2\nu)\varepsilon}$

- En régime plastique et à l'instar de la loi de Hooke (12), ces lois ne sont plus valables.
- Elles vont être remplacées par les équations de Considère (ou de Hencky dans certains cas).



Armand Considère (1841-1914)



Heinrich Hencky (1885-1951)

2.5.2 Théorie de Considère en plasticité

 La théorie de Considère repose sur l'hypothèse que le volume de l'échantillon ne change plus dès lors qu'il a atteint la plasticité, autrement dit :

$$V = V_{\rm e}, \, \varepsilon \ge \varepsilon_{\rm e},$$
 (21)

avec $V_e = \mathbf{e}^{(1-2\nu)\varepsilon_e} V_0$, le volume en limite élastique (15).

· La conclusion de (21) est que

$$\frac{V}{V_0} = \frac{V_e}{V_0} = \mathbf{e}^{(1-2\nu)\varepsilon_e}, \quad \varepsilon > \varepsilon_e$$
 (22)

$$\frac{S}{S_0} = \frac{V}{V_0} \times \frac{I_0}{I} = \mathbf{e}^{(1-2\nu)\varepsilon_e - \varepsilon} \quad \varepsilon > \varepsilon_e$$
 (23)

$$\frac{r}{r_0} = \left(\frac{S}{S_0}\right)^{\frac{1}{2}} = \mathbf{e}^{\left(\frac{1}{2} - \nu\right)\varepsilon_e - \frac{1}{2}\varepsilon}, \quad \varepsilon > \varepsilon_e \tag{24}$$

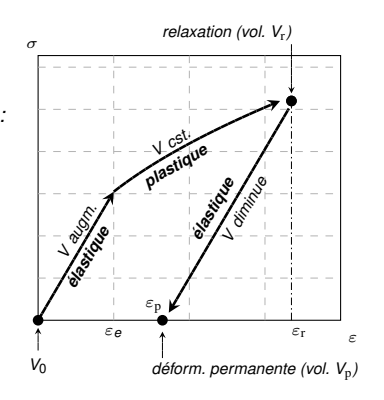
2.5.3 Inconsistance de la Théorie de Considère

 La Théorie de Considère est en réalité inconsistante. Elle prédit en effet qu'un échantillon soumis à un cycle d'écrouissage et de relaxation diminue de volume (cf. exos) :

$$V_p < V_0$$
.

et même que l'échantillon disparaît si on répète ce cycle indéfiniment :

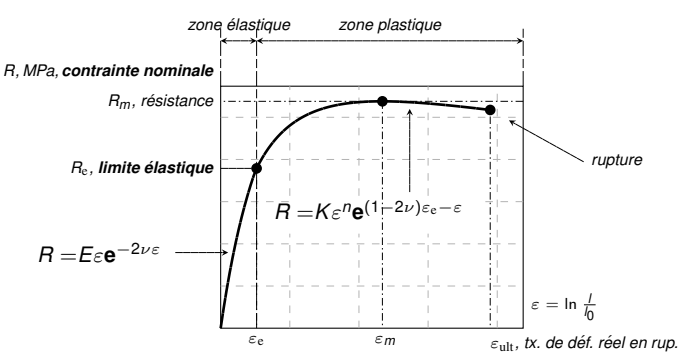
$$V_0 \rightarrow 0$$
.



- Il faudrait remplacer les rel. (22)-(24) par des équations qui prédisent qu'un cycle écrouissage-relaxation conserve le volume de l'échantillon V_p = V₀.
- Ces équations sont celles de Hencky. Elles sont plus compliquées que celles de Considère or, pour un matériau standard (n ~ 0 et ν ~ ½), elles prédisent des comportements très voisins. En pratique, on appliquera donc (22)-(24).

2.6.1 Courbe de traction - (appr. de Considère)

- Les lois (Hooke, **Ludwik**¹, Poisson, Considère) donnent σ et S en fonction de ε et S_0 : $\sigma = \sigma(\varepsilon)$ et $S = S_0 s(\varepsilon)$ avec $s(\varepsilon) = \mathbf{e}^{-2\nu\varepsilon}$ ou bien $s(\varepsilon) = \mathbf{e}^{(1-2\nu)\varepsilon}e^{-\varepsilon}$.
- La force de traction $F = \sigma S$ est donc proportionelle à S_0 : $F = S_0 [\sigma(\varepsilon)s(\varepsilon)]$.
- Le rapport $R = F/S_0$ est appelé contrainte nominale : $R = \sigma(\varepsilon)s(\varepsilon)$



(cf. Annexes 8, 9, 10)

^{1.} La situation obtenue avec d'autres lois d'écrouissage (e.g. Swift) sera traitée en exercice.

2.6.2 Courbe de traction et résistance

(Cas général) Si ε_e < n ≤ ε_{ult}, alors la résistance est atteinte en phase d'écrouissage (cf. trspt. 2.6.1). Pour un matériau recuit et sous l'hyp. de Considère :

$$\varepsilon_{\rm m}=n; \quad R_{\rm m}=K\left(\frac{n}{{
m e}}\right)^n{
m e}^{(1-2\nu)\varepsilon_{\rm e}}.$$

(2) (Cas matériau fragile) Si n > ε_{ult} alors la résistance est atteinte à la rupture. Si on applique l'hypothèse de Considère et qu'on désigne par σ_{ult} la contrainte de traction ultime réelle, on a

$$\varepsilon_{\rm m} = \varepsilon_{
m ult}; \quad R_{
m m} = R(\varepsilon_{
m ult}) = \sigma_{
m ult} {\bf e}^{(1-2\nu)\varepsilon_{
m e}-\varepsilon_{
m ult}}$$

(3) (Cas matériau dur) Si $n < \varepsilon_e$ alors la résistance est atteinte en zone élastique :

$$\begin{split} & \text{Si } \varepsilon_e < \frac{1}{2\nu}: \quad \varepsilon_m = \varepsilon_e; \qquad R_m = R_e, \\ & \text{Si } \varepsilon_e \geq \frac{1}{2\nu}: \quad \varepsilon_m = \frac{1}{2\nu}; \quad R_m = \frac{E}{2\nu \textbf{e}}. \end{split}$$

(cf. Annexes 11, 13)

2.6.3 Résistance et contrainte de traction utlime

 La résistance R_m est la force maximale qu'un échantillon de traction de section initiale unité peut supporter. Cette quantité se lit sur la courbe de traction. Il ne faut par confondre R_m avec la contrainte de traction ultime σ_{ult} (cf. trspt. 2.4.3) qui correspond à la contrainte de traction réelle qu'on mesure au moment de la rupture. Cette quantité se lit sur la courbe de traction réelle. A cause de la diminution des dimensions latérales (Poisson), on a toujours que

$$\sigma_{\rm ult} > R_{\rm m}$$
.

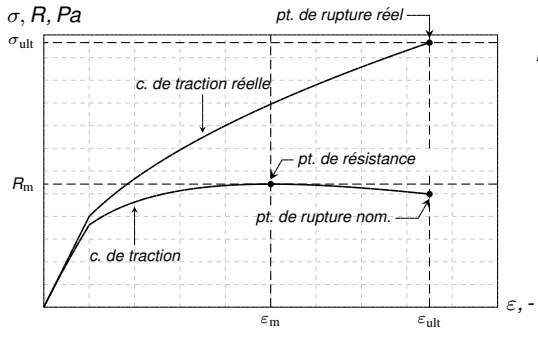


Fig. courbes de traction, matériau ductile

(cf. Annexe 17)

2.6.4 Fonction de traction

 Le module d'écrouissage est lié à la résistance. Pour un matériau recuit et si on admet l'approximation de Considère pour les variations des dimensions latérales, on a

$$K = R_m \left(\frac{\mathbf{e}}{n}\right)^n \mathbf{e}^{-(1-2\nu)\varepsilon_e}$$

· Dans ces conditions, on obtient une expression simple de la contrainte nominale

$$R = R(\varepsilon) = \begin{cases} E\varepsilon \mathbf{e}^{-2\nu\varepsilon}, & \varepsilon \le \varepsilon_{\theta} \\ R_{m} \left(\frac{\varepsilon}{n} \mathbf{e}^{1-\frac{\varepsilon}{n}}\right)^{n}, & \varepsilon \ge \varepsilon_{\theta} \end{cases}$$

- On appelle cette expression fonction de traction.
- Utilité de la fonction de traction :
 - La fonction de traction permet de calculer la force de traction F nécessaire à atteindre un taux de déformation ε donné sur un échantillon de section initiale S₀ : F = S₀R(ε).
 - Pour calculer le taux de déformation ε qu'on atteint sur un échantillon de section initiale S₀ lorsque la force de traction F est imposée, il faudra par contre inverser la fonction de traction : ε = R⁻¹(F/S₀).

2.7.1 Inversion de la fonction de traction

(1) Cas élastique : Si $F/S_0 \le R_e$, l'équation à résoudre est

$$\frac{F}{S_0} = E\varepsilon \mathbf{e}^{-2\nu\varepsilon}.$$

(2) Cas plastique : Si $R_e < F/S_0 < R_m$, l'équation à résoudre pour un matériau recuit et sous l'hypothèse de Considère, est

$$\frac{F}{S_0} = R_m \left(\frac{\varepsilon}{n} \mathbf{e}^{1 - \frac{\varepsilon}{n}} \right)^n.$$

(3) Cas de rupture : Si $F/S_0 > R_m$, la déformation peut être menée jusqu'à la rupture :

$$\varepsilon = \varepsilon_{\rm ult}$$

2.7.2 Inversion de la fonction de traction - plasticité

l'équation à résoudre est transcendante et cela même sous l'hypothèse de Considère.
 Dans le cas d'un matériau recuit, cette équation est :

$$\frac{F}{S_0} = R_m \left(\frac{\varepsilon}{n} \mathbf{e}^{1 - \frac{\varepsilon}{n}} \right)^n.$$

- Méthode de résolution pour trouver $\varepsilon < n$:
 - On pose $\alpha = \frac{1}{\mathbf{e}} \sqrt[n]{\frac{F}{R_m S_0}}$.
 - A partir de la condition initiale $x_0 = \alpha$, on effectue l'itération de pt. fixe

$$x_{m+1} = \alpha e^{x_m}, m = 0, 1, 2 \dots$$

• On appelle \bar{x} sa limite et on trouve le taux de déformation réel ($\varepsilon < n \equiv \varepsilon_m$)

$$\varepsilon = n\bar{x}$$

Programme de la troisième partie

8. Energie de déformation

9. L'expérience de dureté

10. L'expérience de compression

2.8.1 Energie spécifique de déformation

Le travail fourni sur un épisode de l'expérience de traction est

$$dA = S\sigma dI \Longrightarrow dA = V\sigma d\varepsilon$$
.

• Le travail total pour amener l'échantillon au taux de déformation réel ε_{f} vaut :

$$A=\int_0^{\varepsilon_{\rm f}}V\sigma d\varepsilon$$

• Si le matériau est **incompressible** alors $V = V_0$ et

$$A = V_0 \int_0^{\varepsilon_{\rm f}} \sigma d\varepsilon = V_0 \eta$$

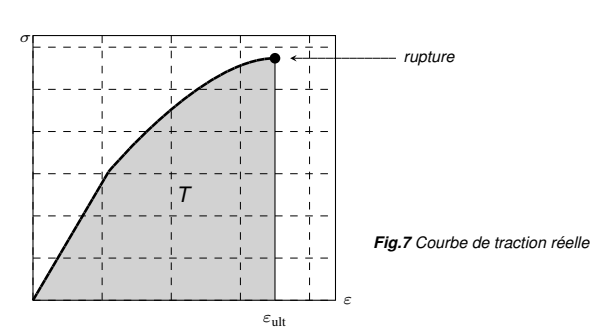
où
$$\eta = \int_0^{arepsilon_{\mathrm{f}}} \sigma darepsilon$$
 (énergie spécifique de déformation)

- Pour un matériau général, V₀η est une sous-estimation du travail A.
- Pour un matériau général, $V_{\rm f}\eta$ est une **sur-estimation** du travail A.

2.8.2 Ténacité - Définition

La ténacité T est l'énergie spécifique de déformation jusqu'en rupture :

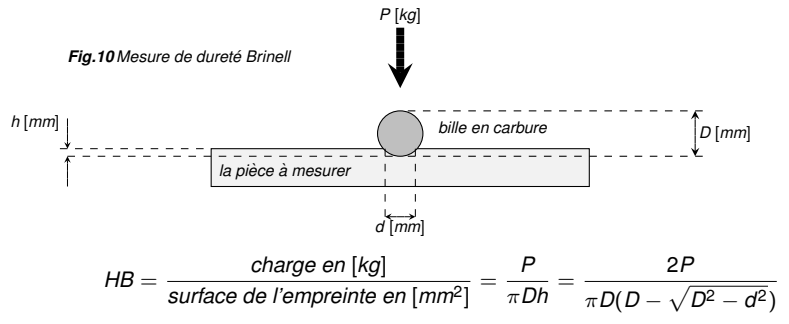
$$\mathcal{T} = \int_0^{arepsilon_{
m ult}} \sigma darepsilon$$



(cf. Annexe 21)

2.9.1 L'expérience de dureté - Définition

- · La dureté est une mesure hybride corrélée à la limite élastique mais aussi à l'usure.
- Les mesures de dureté standardisées sont nombreuses (Brinell, Vickers, Rockwell). Elles sont en principe simples et non destructives.
- La mesure la plus classique est due à Brinell (dureté HB).

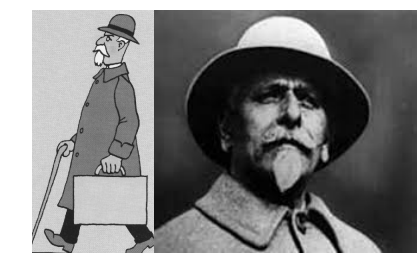


2.9.2 Dureté et Limite élastique.

- Il existe une relation approximative entre la dureté et la limite élastique.
- Lorsque l'on donne HB en unité de [kg/mm²], on peut approcher R_e en unité de [MPa] grâce aux formules :
 - R_e ≃ 3.5HB, pour des matériaux écrouis,
 - R_e ≈ 2.0HB, pour des matériaux recuits.



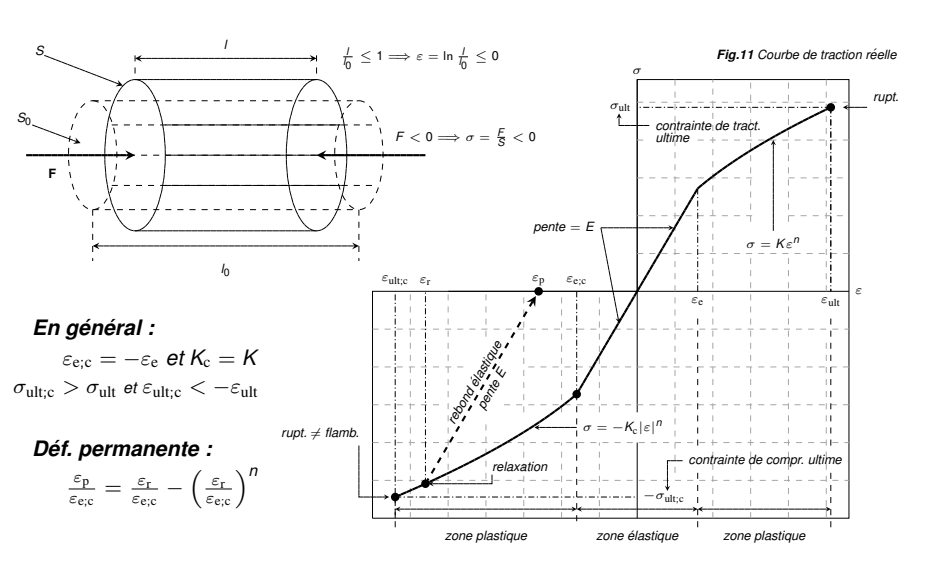
J.A.Brinell (1849-1925)



M. Bazaroff
Ds "l'oreille cassée"

Basil Zaharoff (1849-1936) former CEO of Vickers Ltd

2.10.1 L'expérience de compression



2.10.2 Loi de Poisson et de Considère en compression

 Les lois de Poisson et de Considère se maintiennent avec la même valeur du coefficient de Poisson ν que pour la traction.

Situation	$arepsilon \leq arepsilon_{ m e;c}$ (élasticité)	$arepsilon > arepsilon_{ m e;c}$ (plasticité)
$\frac{r}{r_0}$	$e^{- uarepsilon}$	$\mathbf{e}^{(\frac{1}{2}- u)arepsilon_{\mathrm{e;c}}-rac{1}{2}arepsilon}$
$\frac{\overset{\circ}{S}}{S_0}$	${ m e}^{-2 uarepsilon}$	$\mathbf{e}^{(1-2 u)arepsilon_{\mathrm{e;c}}-arepsilon}$
$\frac{V}{V_0}$	$\mathbf{e}^{-\nu\varepsilon}$ $\mathbf{e}^{-2\nu\varepsilon}$ $\mathbf{e}^{(1-2\nu)\varepsilon}$	$\mathbf{e}^{(1-2 u)arepsilon_{\mathrm{e;c}}}$

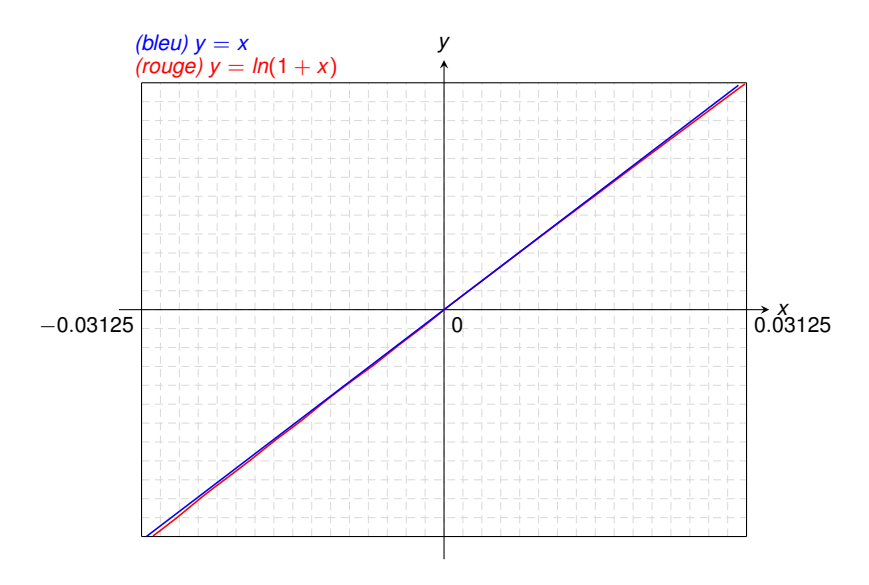
- Il faut noter que les taux de déformations ε et ε_{e;c} sont négatifs.
- Les formules ci-dessus prévoient donc des augmentations de rayon et de section mais des diminutions de volume (car ν ≤ ½).
- L'hypothèse de Considère est toujours inconsistante puisqu'elle prédit une augmentation plastique du volume après rebond. Cependant, pour la plupart des matériaux, elle donne lieu à de bonnes sur-estimations de la réalité (formule de Hencky).



A 1: Terminologie anglaise

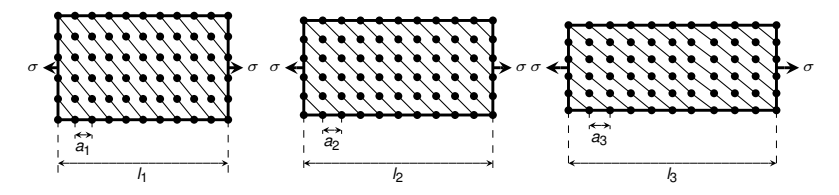
Français	Anglais
Taux de déformation :	Real strain
Taux de déformation nominal : .	Engineering strain
Contrainte (réel, nominale) :	(Real, engineering) stress
Essai de traction :	Tensile test
Courbe de traction :	Tensile curve
Essai de compression :	Compressive test
Essai de cisaillement :	Shear test
Limite élastique :	Yield (tensile) strength
Résistance :	Ultimate (tensile) strength
Dureté :	Hardness
Ténacité :	Tenacity
Module d'elasticité :	Elasticity modulus
Module de cisaillement :	Shear modulus
Coefficient de Poisson :	Poisson ratio
Ecrouissage :	(Work or strain) hardening
Dislocation:	Dislocation

A 2: Comparaison entre y = x et $y = \ln(1 + x)$

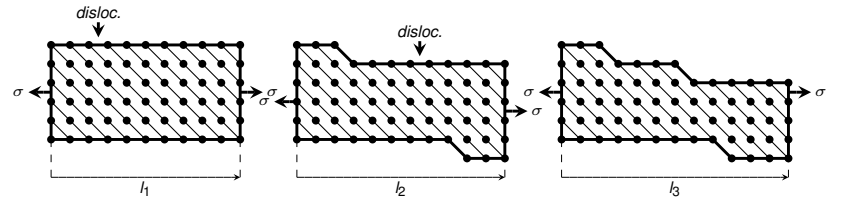


A 3: Mobilisation des dislocations

Elasticité ($\sigma < \sigma_e$) : modification des paramètres de maille

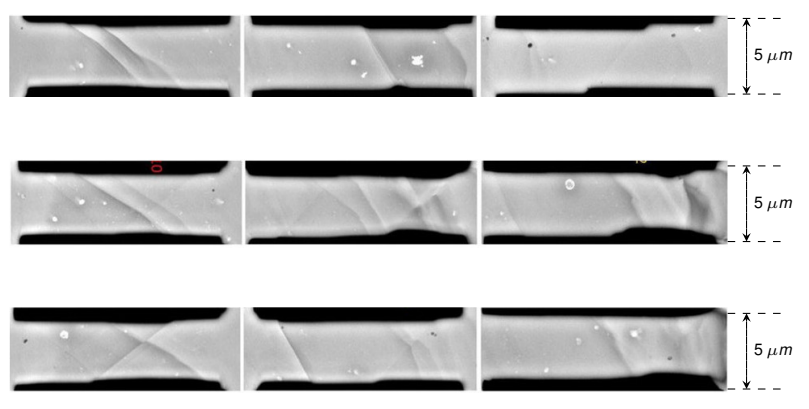


Plasticité ($\sigma > \sigma_e$) : création et mouvement de dislocations



A 4: Déformation plastiques

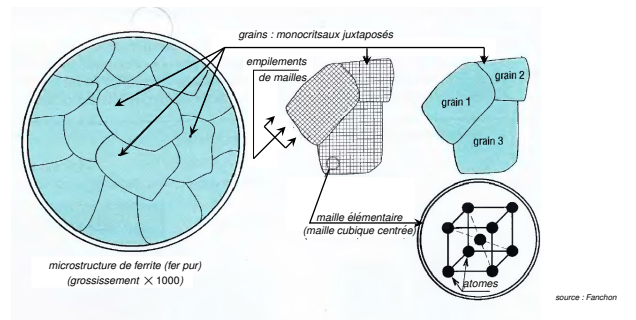
Observation TEM de micro-spécimens de traction



source: Hu, Zuqi et al., Microstructure Formation and Micropillar Compression of Al-TiC Nanocomposite Manufactured by Solidification Nanoprocessing, Metallurgical and Materials Transactions A, 08.2019

A 5: Microstructures et grains

- Les métaux sont formés de monocristaux ou grains placés côte à côte et de forme polygonale plus ou moins régulière.
- A l'intérieur d'un grain, les atomes sont disposés de façons périodiques. La structure répétée périodiquement est appelée maille (e.g. maille cubique centré, maille cubique face centrée).



 Les traitements thermiques sont susceptibles de modifier la microstrutcure (i.e la taille et la morphologie des grains).

A 6: Courbe de traction réelles - différentes val. de *n*

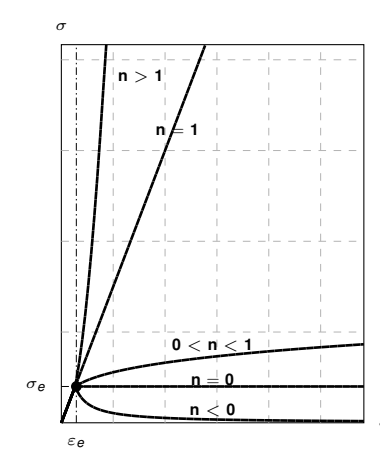
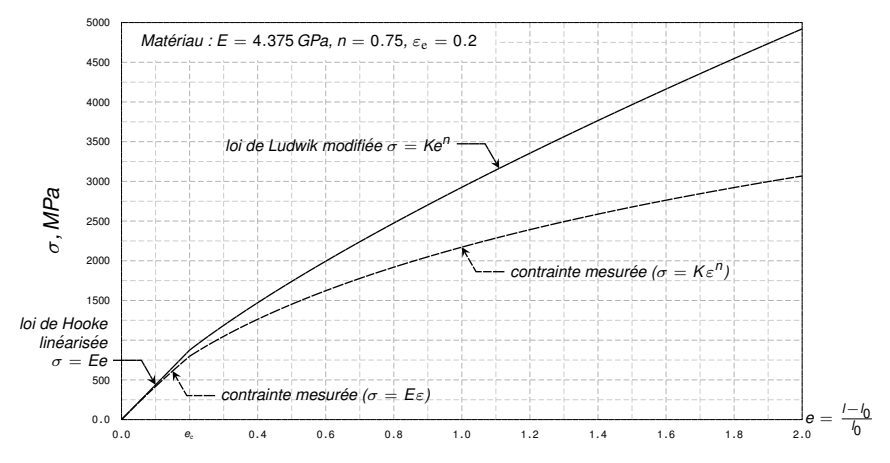


Fig. Courbe de traction réelle

A 7: Utilisation du taux nominal

 Pour le matériau donné, calculons la contrainte réelle en remplaçant le taux réel ε par le taux nominal e dans les lois de Hooke/Ludwik. Ajoutons sur le même graphique, la valeur de σ telle qu'elle sera mesurée. L'erreur n'est pas significative dans le contexte des petites déformations (e.g. e ≪ 0.05), mais est impossible à justifier dans le cas des grandes déformations.



A 8: Valeurs nominales et valeurs réelles

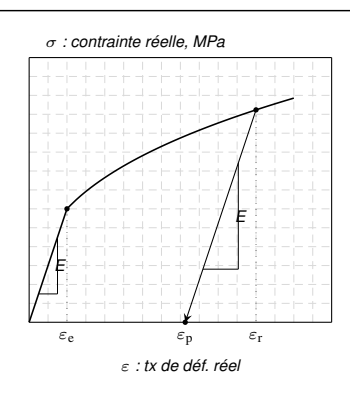
	réel	nominal
taux de déformation	$\varepsilon = \ln \frac{l}{l_0}$	$e=rac{l-l_0}{l_0}$
contrainte	$\sigma = \frac{F}{S}$	$R=\frac{F}{S_0}$

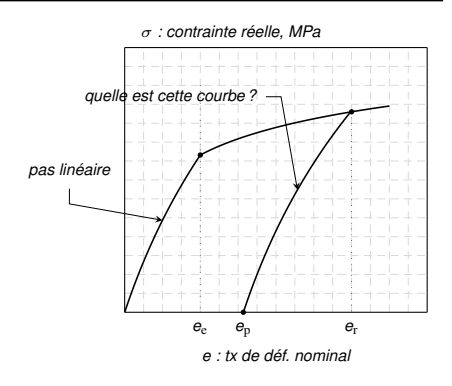
- Le taux de déformation nominal a un avantage calculatoire, mais il n'est usité que dans le contexte des petites déformations car, dans ce cas, il est peu différent du taux réel. Pour étudier les procédés de formage, il est important d'utiliser le taux réel. On bénéficie de ses avantages :
 - (i) linéarité de la loi de Hooke ($\sigma = E\varepsilon$ or $\sigma \approx Ee$ seul. si $e \ll 5\%$ (cf. exos)),
 - (ii) étude des rebonds élastiques simplifiée,
 - (iii) incrément de taux ne dépendant que de la config. courante . . .
- La contrainte nominale est par contre une grandeur fondamentale et très utile. Elle représente la force développée par la machine de traction normalisée par la surface initiale de l'échantillon. C'est une image de la charge appliquée. En conséquence, le terme force normalisée serait plus adapté que contrainte nominale.
- Les informations données par σ et R sont complémentaires. La contrainte de traction réelle représente la contrainte de traction physique telle qu'on peut la mesurer à l'intérieur de l'échantillon.
- Notons que R ≤ σ à cause de la décroissance de la section de l'échantillon.

A 9: Rebond élastique en taux réel ou nominal

avec le taux réel

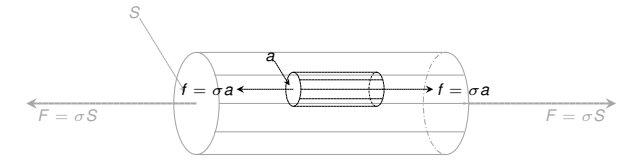
avec le taux nominal





A 10: Etat de contrainte local

 La contrainte de traction σ ne s'applique pas que sur les faces extrêmes de l'échantillon. L'équilibre mécanique de chaque portion d'échantillon implique que la contrainte σ se répercute sur chaque surface interne de l'échantillon perpendiculaire à l'axe de traction. Ce fait est illustré à la Fig. ci-dessous.

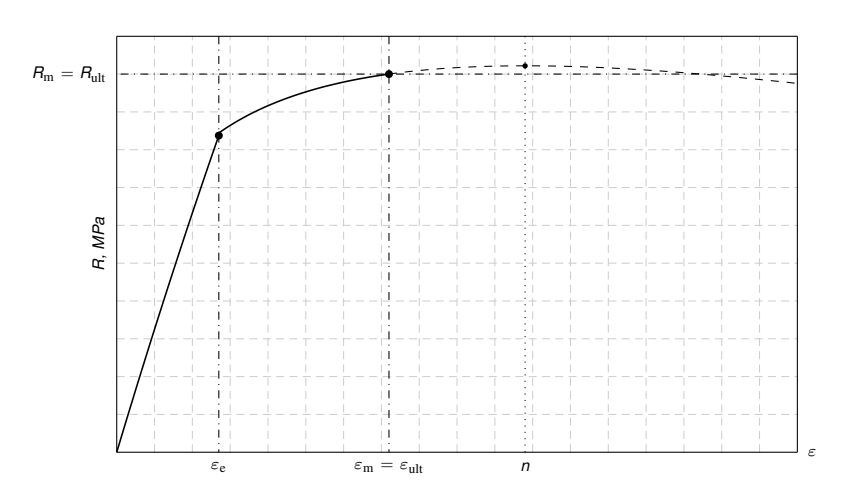


 En cours d'une expérience de traction, l'échantillon est dans un état de contrainte homogène: une traction uniaxiale dont l'amplitude est égale à la contrainte réelle σ. On peut donc mesurer σ à l'aide d'une jauge de contraintes.

A 11: Courbe de traction pour un materiau fragile

• Si $\varepsilon_{\rm ult} <$ n, la contrainte nominale maximale est réalisée à la rupture :

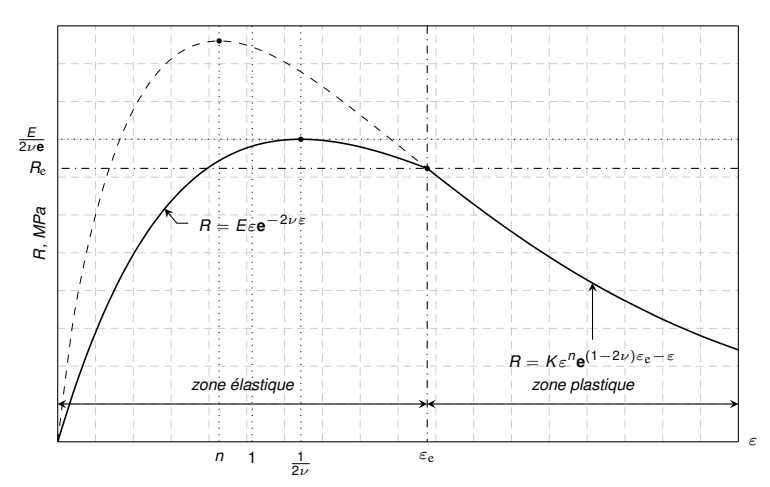
$$\varepsilon_{\rm m} = \varepsilon_{\rm ult}$$
 et $R_{\rm m} = R_{\rm ult}$.



A 12: Courbe de traction pour un matériau très dur

• Si $\varepsilon_{\rm e} > \frac{1}{2u}$, la résistance est atteinte à l'intérieur de la zone élastique :

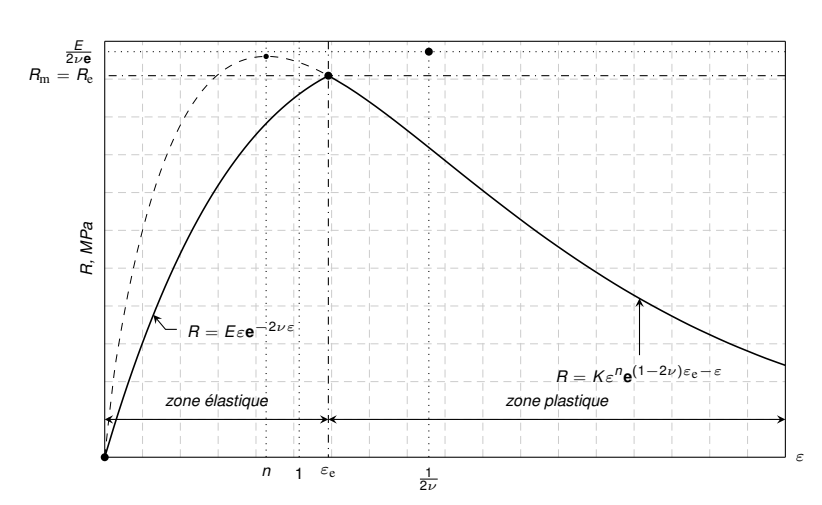
$$arepsilon_{\mathrm{m}} = rac{1}{2
u} \quad \text{et} \quad R_{\mathrm{m}} = rac{E}{2
u \mathbf{e}}.$$



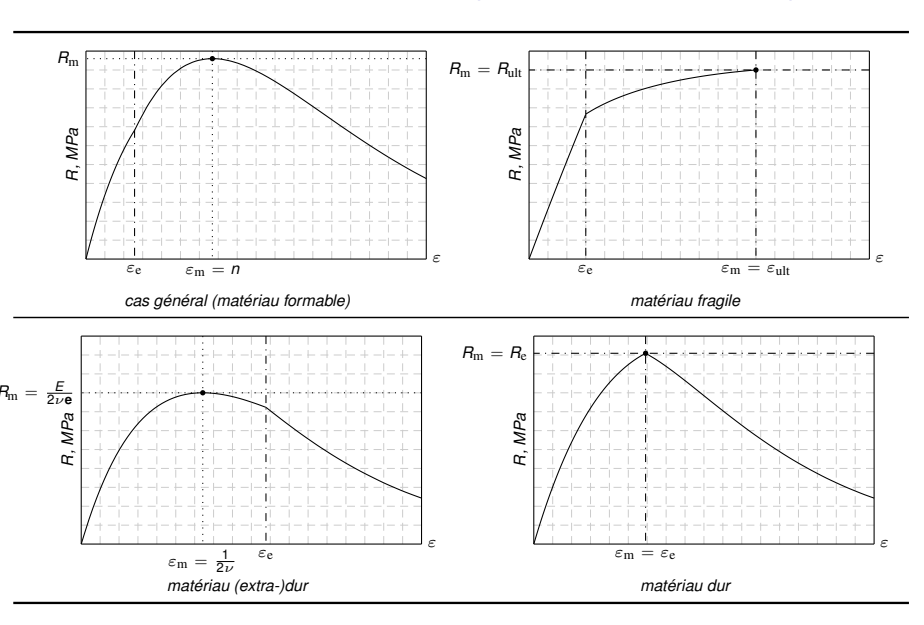
A 13: Courbe de traction pour un matériau dur

• Lorsque $\varepsilon_e \le 1/2\nu$ mais $\varepsilon_e > n$, la résistance est atteinte en limite élastique :

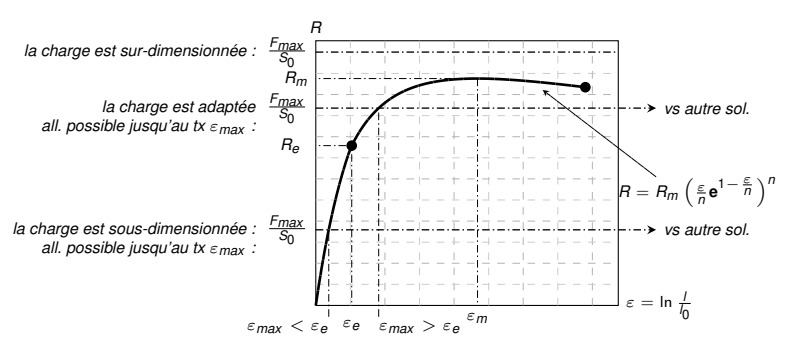
$$\varepsilon_m = \varepsilon_e \quad \text{et} \quad R_m = R_e.$$



A 14: Courbes de traction (Ludwik-Considère)



A 15: Inversion de la fonction de traction



• Le taux de déf. atteignable ε_{max} avec une charge adaptée F_{max} satisfait :

$$\frac{F_{max}}{S_0} = R_m \left(\frac{\varepsilon_{max}}{n} e^{1 - \frac{\varepsilon_{max}}{n}} \right)^n.$$
 (Equation de la déformation maximale)

A 16: Calcul des taux de déformation, cas plastique

- · On reçoit un matériau recuit de caractéristiques connues.
 - Il faut calculer le taux de déformation réel d'une barre de section S₀ = 150.0 mm² soumise à une force de traction de F = 90 kN.

limite élastique	résistance	coeff. Poisson	coeff. écr.
$R_e = 450 MPa$	$R_m = 904.2 MPa$	$\nu = 0.400$	n = 0.2

Tab. 1 Données relatives au matériau

$$\frac{F}{S_0} = 600.0 \, \text{MPa} \ge R_{\theta} \, \text{(cas plastique)} \qquad \qquad \alpha = \frac{1}{\mathsf{e}} \, \sqrt[n]{\frac{F}{R_m S_0}}$$

$$\boxed{STO} \qquad * \qquad \boxed{exp} \qquad \boxed{RCL} \qquad \boxed{0. \quad 0 \quad 4 \quad 9 \quad 7 \quad 4 \quad 4 \quad 3} \qquad \longrightarrow \qquad \bar{x}$$

$$\downarrow \quad \varepsilon = n\bar{x}$$

 $\varepsilon = 0.0099488$

A 17: Résistance et contrainte ultime

• Dans le cas d'un matériau fragile, la différence entre la résistance et la contrainte de traction ultime est moindre. On a généralement que $R_m \simeq \sigma_{\rm ult}$.

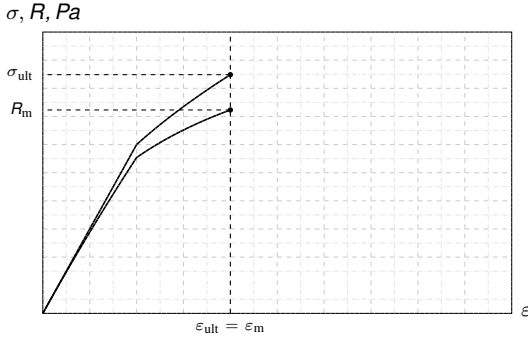
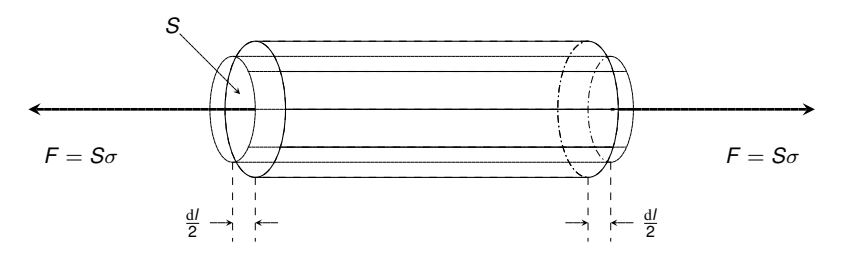


Fig. courbes de traction, matériau fragile

 N.B. Pour évaluer la tenue des matériaux sous charge externes, la valeur à utiliser pour la résistance ultime à la traction (UTS) est R_m, car le calcul des forces se fait (généralement) par rapport à la géométrie initale non déformée.

A 18: Episode de traction (allongement d/ de l'échantillon)



Le travail effectué vaut

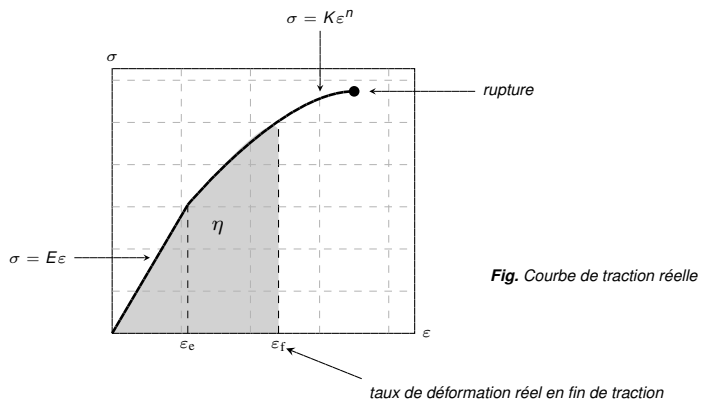
$$dA = F\frac{dI}{2} + F\frac{dI}{2} = FdI = S\sigma dI = SI\sigma\frac{dI}{I}$$

• Comme SI = V et que $\frac{dI}{I} = d\varepsilon$, on conclut que

$$dA = V\sigma d\varepsilon$$

A 19: Energie spécifique et courbe de traction réelle

L'énergie spécifique de déformation $\eta = \int_0^{\varepsilon_{\rm f}} \sigma d\varepsilon$, s'interprète comme l'aire sous la courbe de traction réelle.



A 20: Theorie du flambage

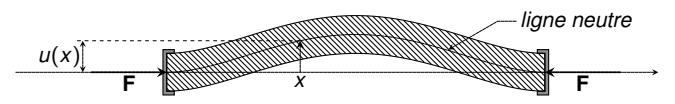
 L'état de déformation d'un échantillon de compression (longueur l₀, section S₀) est en principe un état de compression uniforme :



• Si le rapport entre la contrainte nominale $R=\frac{F}{S_0}$ et le module d'Young E de la matière passe au-dessus d'un seuil :

$$\frac{R}{E} \geq \frac{S_0}{4\pi I_0^2}$$

alors il existe d'autres configurations d'équilibre, impliquant (par exemple) des flexions



On appelle flambage la bifurcation vers ces nouveaux états de déformation.

A 21: Matériau résistant, matériau tenace

Matériau résistant Matériau tenace

ne pourra être mis en forme qu'en déployant une force importante,

ne pourra être mis en forme qu'en dépensant beaucoup d'énergie,





A 22: Propriétés mécaniques de quelques matériaux

Matériau	R _m [MPa]	R _e [MPa]	E [GPa]	ν	$arepsilon_{ m ult}$
Acier ordinaire	300/1100	200/900	210	0.3	0.17
Acier hautes carac.	1100/1800	1000/1700	210	0.3	-
Acier inox. aust.	-	180/240	195	0.3	0.4
Alliages aluminium	200/600	100/500	70	0.34	0.05/0.30
Titane	650	500	110	0.34	0.35/0.55
Cuivre (forgé)	215/930	49/420	115/132	0.31	0.015/0.55
Laiton	159/896	69/683	97/115	0.33	0.03/0.68
Bronze	96/1010	69/793	41/137	0.31	0/0.7

A 23: Données physiques

Matériau	n
Acier doux (0.05%C)	0.26
Acier à haute résistance (SAE 4340)	0.15
Acier trempé et recuit (0.6%C)	0.15
Laiton recuit (70Cu/30Zn)	0.49
Laiton déformé à froid (70Cu/30Zn)	0.19
Nickel recuit	0.43
Nickel déformé à froid	0.07
Aluminium recuit	0.15

A 24: Données physiques

Matériau	$ au_{\mathcal{S}}$ (ou $ au_{ ext{ult}}$), MPa
Fer	370
Acier (0.13%C)	480
Acier (Ni-Cr-V)	690
Acier (austénitique inoxydable)	630
Nickel	420
Cuivre (recuit)	250
Cuivre (travaillé à froid)	270
Laiton (70Cu/30Zn)	370
Aluminium	97
Magnésium	125
Plomb	36